

Market, New York, March 4 (1954)
 7) I. G. Polovchenko: Stal, No.12, (1957) 1057
 8) A. Kohn: "Etude de la Descente des Char-

ges au Haut-Fourneau", UNESCO, RI
 International Conference Report, No.194
 (1957)

上吹転炉における脱磷平衡*

(Schenck および Herasymenko の平衡の適用)

前田 元三**・田島喜久雄**・本間 悦郎**

A Study on the Dephosphorization Equilibrium in an LD Converter.

(Application of Schenck's equilibrium formula and
 Herasymenko's ionic method)

Motozo Maeda, Kikuo Tajima and Eturo Homma

Synopsis:

The authors applied the dephosphorization equilibrium formulas reported by Schenck and Herasymenko to the final slag and metal of the 3-ton experimental LD converter.

The results obtained were as follows.

(1) The observed values of $\log K_P^{IV}$ in the Schenck's formula had a linear relation to $1/t$, but they located in the upper region against the Schenck's equilibrium.

(2) Assuming $K_P^{IV} [\Sigma P](FeO)^5(CaO)^4/(\Sigma P_2O_5)$, the next formula was obtained

$$\log K_P^{IV} = -61,140/t + 40 \cdot 13$$

(3) $\log (\Sigma P_2O_5)/[\Sigma P]$ had a maximum value on the value of 25~30% of (T.Fe).

(4) In the Herasymenko's formula, linear relation was obtained between $\log K_{Fe}^P$ and Ca^{++} and this relation was expressed as follows,

$$\log K_{Fe}^P = 6 \cdot 72(Ca^{++}) + 7,210/t - 3 \cdot 41$$

This formula had a deviation from the open-hearth formula reported by Herasymenko.

This meant that the dephosphorization of an LD converter did not approach closer to the equilibrium than open-hearth furnaces.

I. 緒 言

著者らはさきに当所の 3 t 上吹試験転炉の主として吹製終了時の試料について Chipman の提出している平衡式をもとに脱磷平衡の解析を行なつたが¹⁾、引続き H. Schenck & W. Rieß²⁾の平衡式および Herasymenko³⁾などの提示しているイオン説による方法により脱磷平衡の解析をおこなつたので、その結果を報告する。なお、解析に用いた試料数は 82 個である。

II. Schenck の平衡式の適用

H. Schenck および W. Rieß²⁾が、数多くの塩基性平炉のデータをもとにして算出した脱磷平衡式

$$\log K_P^{IV} = \log \frac{[\Sigma P](FeO)^5(CaO)^4}{(\Sigma P_2O_5)} + 0 \cdot 060(\Sigma P_2O_5)$$

$$= -\frac{51,800}{t} + 35 \cdot 05 \dots\dots\dots(1)$$

は現場のデータに比較的よく適合するといわれている⁴⁾。著者らは、さきに Chipman の平衡に使用したとおなじデータ¹⁾ (ただし $(\Sigma Fe)(\Sigma CaO)$ などが極端に低い。あるいは高い 2, 3 のデータは計算図表の關係で除く) をもとに、上記 Schenck の平衡式を用いて脱磷平衡の解析をこころみた。

上式の (FeO) および (CaO) などの遊離成分は Schenck の作成した遊離成分図から求めることは周知であるが、Schenck の作成している図は、 (ΣFe) が最高 20% まで、温度も最高 1627°C までである。しか

* 昭和 33 年 10 月本会講演大会にて発表

** 富士製鉄株式会社室蘭製鉄所

るに、われわれのデータは、さきの報告¹⁾に示したように、その2/3近くが(ΣFe)が20~35%であり、また温度も1630°C以上の例が多い。したがって Schenck の提出している図より外挿で求めるのでは誤差が大きすぎるおそれがあるので、あらたに(ΣMnO)=5.0%の場合の1627°C, 1660°Cのおおのこの温度における(ΣFe)=25%, 30%, 35%について Schenck の遊離成分図を作成して平衡恒数を算出した。

log K_P^{IV}と1/tとの関係は Fig. 1 に示すごとくであり、両者の単相関係数は r^{**} = -0.7052 であり、高度に有意で点のばらつきが非常にすくない。また同図中に Schenck の平衡式をあわせ示すが、実測値のほとんどが Schenck の平衡値より大きいが、実測値の回帰直線は Schenck の平衡式にほぼ平行である。

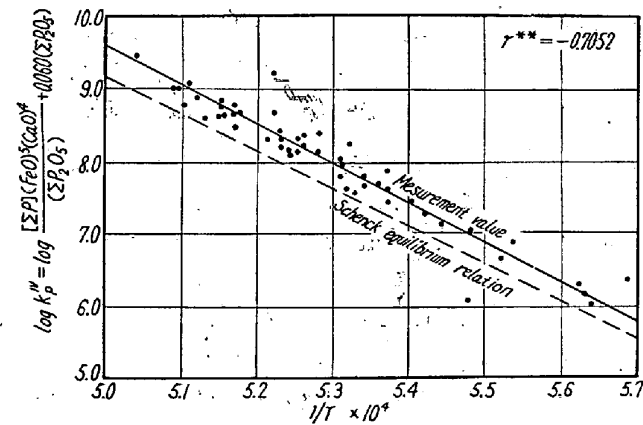


Fig. 1. Relation of log K_P^{IV} and 1/t—Comparison with the Schenck's equilibrium formula.

Schenck の平衡式が平炉の実績より算出されたものとする、以上の結果より上吹転炉の最終鋼滓は脱磷平衡の点より考えると、平炉よりさらに平衡よりずれているということがいえよう。

われわれはさらに(1)式の0.060(ΣP₂O₅)なる補正項を除いた値、すなわち log K_P^{IV'} [ΣP](FeO)⁵(CaO)⁴/(ΣP₂O₅)と1/tとの関係を検討したところ、Fig. 2 に示すごとく両者の単相関係数は r^{**} = -0.9120 となり Fig. 1 よりもさらにばらつきが少なく高度に有意となった。

以上のように、補正項を除いた式を平衡恒数としたほうが実測値のばらつきが少なく、かつ、後の計算の数式的取扱いが便利であるので、こんごはこの平衡恒数によることとし、データの数を増して82個とし、改ためて回帰線を求め Fig. 3 および(2)式をえた。

$$\log K_P^{IV'} = \log \frac{[\Sigma P](FeO)^5(CaO)^4}{(\Sigma P_2O_5)}$$

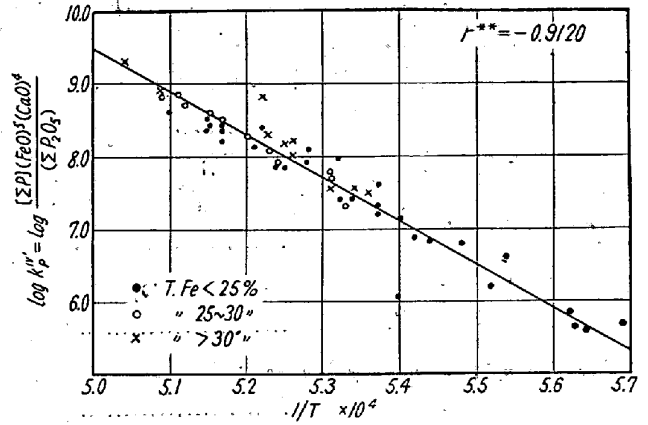


Fig. 2. Relation between log K_P^{IV} and 1/t.

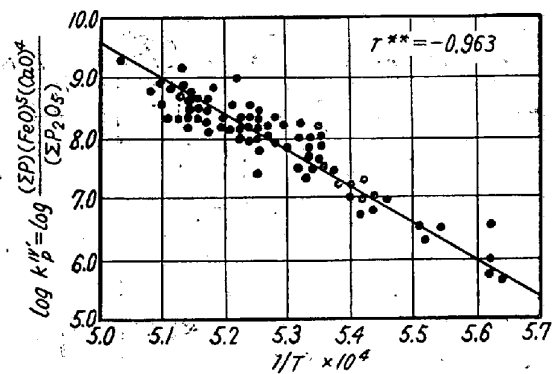


Fig. 3. Relation between log K_P^{IV'} and 1/t.

$$= -\frac{61,140}{t} + 40.13 \dots \dots \dots (2)$$

なお、Fig. 2の各点を(TFe)別に識別してみたところ、同図にみるように Chipman の平衡式を適用した場合と異なり、(TFe)と平衡値からのずれとの間にはあまり関係がみとめられなかつた。

III. $\log \frac{(\Sigma P_2O_5)}{[\Sigma P]}$ と (FeO) との関係

鋼浴、鋼滓間の磷の分配比 $\log (\Sigma P_2O_5)/[\Sigma P]$ はつぎのごとく表わされる。

$$\log \frac{(\Sigma P_2O_5)}{[\Sigma P]} = \log \frac{1}{K_P^{IV'}} + 5 \log (FeO) + 4 \log (CaO) \dots \dots \dots (3)$$

(2)式を(3)式に代入すると

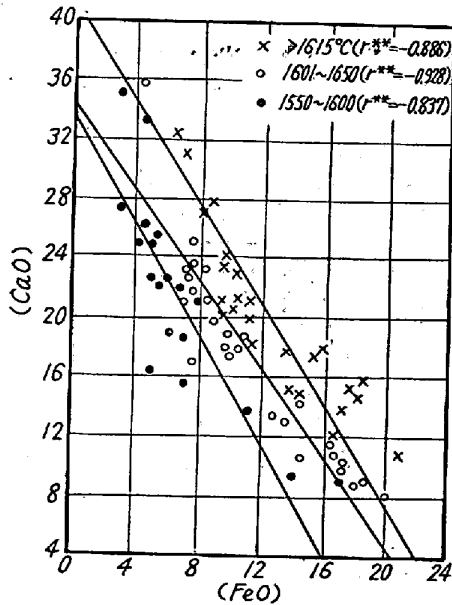
$$\log \frac{(\Sigma P_2O_5)}{[\Sigma P]} = \frac{61,140}{t} - 40.13 + 5 \log (FeO) + 4 \log (CaO) \dots (4)$$

一方(FeO)と(CaO)との関係をみると Fig. 3 のように(FeO)の増加にしたがい(CaO)は直線的に減少してゆく。これは Chipman の平衡を適用したさ

いにのべたように鋼滓中の FeO の稀釈作用のためと Schenck 式の遊離成分の算出法では、 ΣFe の増加にともない (CaO) が減少してゆくためと思われる。

Fig. 3 に示すように各点を温度範囲別に識別しおのこの回帰直線を算出するとつぎの各関係式がえられる。

- 1,550~1,600°C : (CaO) = -1.46(FeO) + 34.30 (5)
- 1,601~1,650°C : (CaO) = -1.49(FeO) + 34.86 (6)
- 1,651~1,700°C : (CaO) = -1.68(FeO) + 41.42 (7)



註) 図中 1550 とあるは 1551 の誤り

Fig. 4. Relation between (CaO) and [FeO].

(5)~(7)式をそれぞれ (4) 式に代入し 1,575°C, 1,625°C および 1,675°C における $\log(\Sigma\text{P}_2\text{O}_5)/[\Sigma\text{P}]$ と (FeO) との関係算出すると Fig. 4 に示すような関係曲線がえられる。すなわち (FeO) の増加にともない燐の分配比は増大してゆくが、(FeO):13~15% 付近 T.Fe にして約 25~30% 付近に極大点を生じ、それ以上 (FeO) が増加すると分配比はしだいに低下してゆく。Fig. 5 に実測値をプロットして示すが上記の傾向が可成りよく見受けられる。

以上の結果は上吹転炉においては後吹き期間中に鋼滓の T.Fe% が上昇するにもかかわらず脱燐反応があまり進行しない現象と一致している。

IV. Herasymenko の方法の適用

最近鋼浴鋼滓間の反応の解析にイオン説が用いられてきているが脱燐反応にこれを適用したのが Herasymenko & Speight³⁾, Temkin⁴⁾および Flood⁵⁾などで

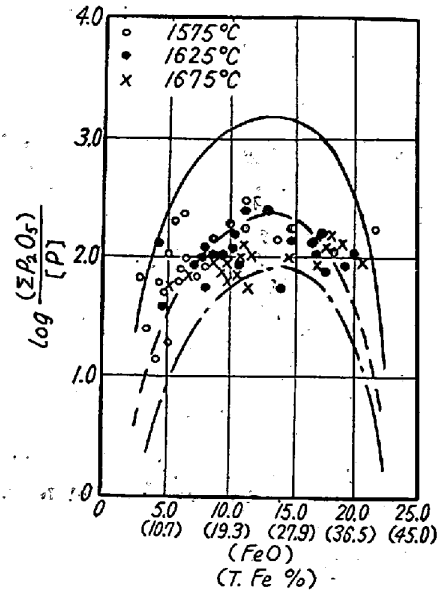


Fig. 5. Effect of (FeO) or T.Fe on the P-distribution ratio $\log(\Sigma\text{P}_2\text{O}_5)/(\Sigma\text{P})$.

ある。

著者等は実測値に Herasymenko の方法を用い脱燐平衡の検討をおこなつた。Herasymenko は脱燐反応の平衡比

$$K_{\text{O}}^{\text{P}} = \frac{(\text{PO}_4^{\text{III}})}{[\text{P}][\text{O}]^{5/2}(\text{O}^{\text{II}})^{3/2}}$$

$$\text{および } K_{\text{Fe}}^{\text{P}} = \frac{(\text{PO}_4^{\text{III}})}{[\text{P}](\text{Fe}^{\text{+++}})^{5/2}(\text{O}^{\text{II}})^{1/4}}$$

は Ca^{++} のみに関係することを見出しており $\log K_{\text{O}}^{\text{P}}$ および $\log K_{\text{Fe}}^{\text{P}}$ はそれぞれ Ca^{++} と直線的関係にあることを報告している。

著者らは実測値より $\log K_{\text{O}}^{\text{P}}$ および $\log K_{\text{Fe}}^{\text{P}}$ を算出し Ca^{++} との関係を検討した。 $\log K_{\text{O}}^{\text{P}}$ と Ca^{++} との関係は Fig. 6 に示すごとくであり単相関係数は $r^{**} = 0.729$ と高度に有意であるが実測値はかなりばらついている。一方 $\log K_{\text{Fe}}^{\text{P}}$ と Ca^{++} との間の相関は $r^{**} = +$

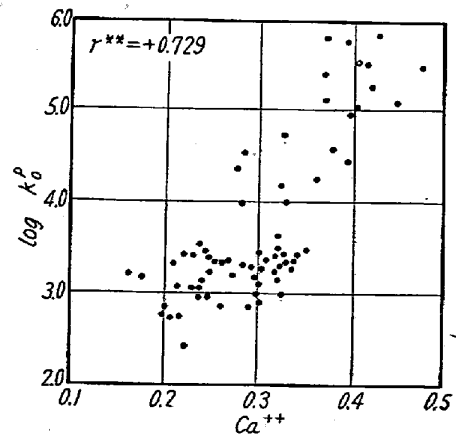


Fig. 6. Relation between $\log K_{\text{O}}^{\text{P}}$ and Ca^{++} .

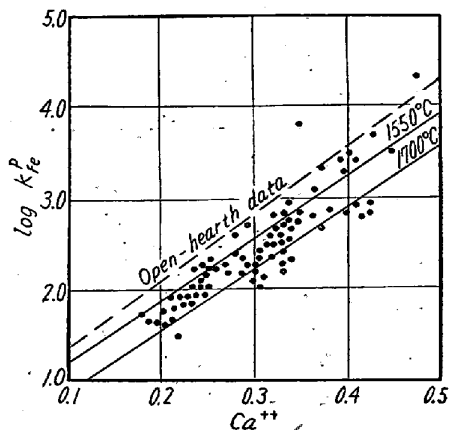


Fig. 7. Relation of $\log K_{Fe}^P$ and Ca^{++} .

0.901 であり Fig. 7 に示すようにばらつきも非常に少なく両者は直線関係にあることを示している。

つぎに $\log K_{Fe}^P$ におよぼす温度の影響であるが両者の関係は Fig. 8 に示すようにかなりのばらつきはあるが単相関係数は $r^{**}=+0.531$ と高度に有意であつた。そこで $\log K_{Fe}^P$ と Ca^{++} および $1/t$ との間の重相関係数を求め、 Ca^{++} および $1/t$ より $\log K_{Fe}^P$ の値を推定する回帰平面の式をつぎのごとく算出した。

$$\log K_{Fe}^P = 6.72(Ca^{++}) + \frac{7,210}{t} - 3.41 \dots (8)$$

(8)式より 1,550°C および 1,700°C における $\log K_{Fe}^P$ と Ca^{++} との関係直線を算出した結果を Fig. 7 に示す。ここで少し疑問を感じるのは $\log K_{Fe}^P$ の値におよぼす温度の影響が少ないことである。

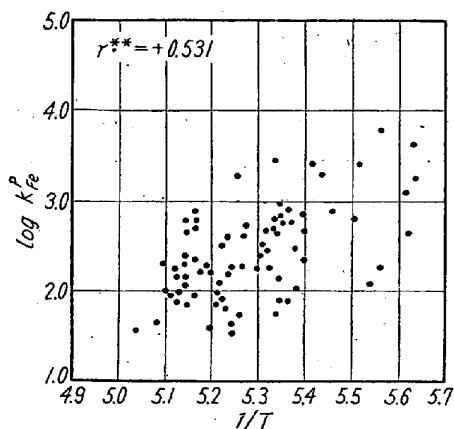


Fig. 8. Relation between $\log K_{Fe}^P$ and $1/t$.

Fig. 7 に Herasymenko が平炉のデータより算出した $\log K_{Fe}^P$ と Ca^{++} との関係直線を示したが、われわれのえた直線と比較すると傾斜はほぼ同一であるが幾分上方に位置している。このことは少なくともわれわれの試験転炉の吹製終了時においては脱磷反応は平炉におけるよりも平衡からはなれていることを示すものであ

り、この点では Schenck の平衡式を基に検討した結果と一致している。つぎに少し大胆であるが、Herasymenko の用いている Fe^{++} , Ca^{++} および O'' などの ionic fraction による濃度表示を (FeO)% に変換し、磷の分配比 (PO_4''')/[P] を温度と (FeO)% の函数にて表わすことを試みた。すなわち

(i) (Fe^{++}) の (FeO)% への変換

実測値について (Fe^{++}) と (FeO)% との関係を検討すると Fig. 9 のごとくであり、両者の単相関係数は $r^{**}=+0.994$ であり、きわめて高度に有意でありつぎの関係式がえられる。

$$(Fe^{++}) = 0.0051(FeO)\% + 0.0129 \dots (9)$$

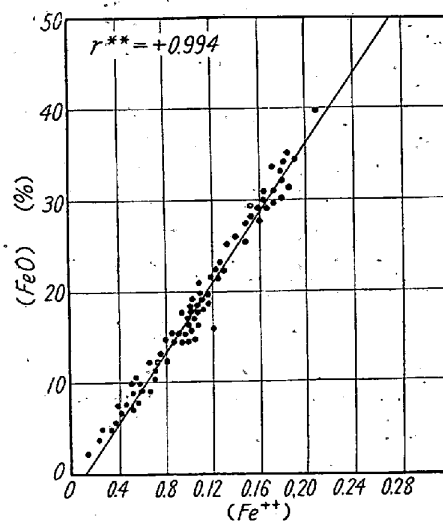


Fig. 9. Relation between (Fe^{++}) and (FeO)%.

(ii) (O'') の (FeO)% への変換

(O'') を (FeO)% に変換しうる理論的根拠はなんら見当たらないのであるが、実測値について (O'') と (FeO)% との関係を見ると Fig. 10 のごとくでありなんらかの相関々係が見受けられる。そこで両者の関係が二次曲

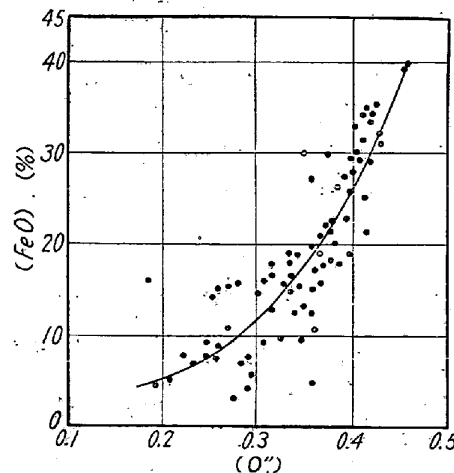


Fig. 10: Relation between (O'') and (FeO)%.

線であるとみて(これも理論的根拠はない)次式を算出した。

$$(O'') = -0.00024(FeO)^2 + 0.018(FeO) + 0.1136 \dots\dots\dots(10)$$

(iii) (Ca⁺⁺) の (FeO)% への変換

実測値について (Ca⁺⁺) と (FeO)% との関係をみると Fig. 11 のごとくであり、単相関係数は r^{**} = -

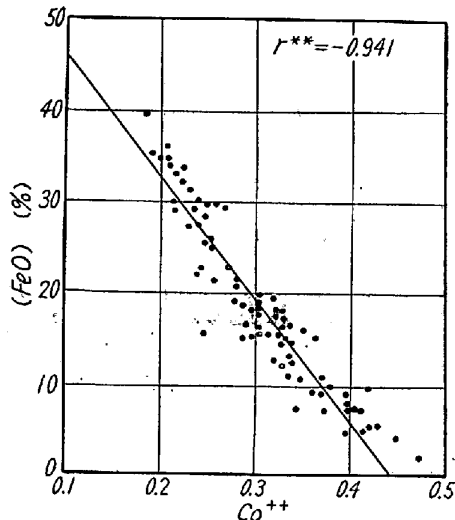


Fig. 11. Relation between Ca⁺⁺ and (FeO)%.

0.941 であり高度に有意である。両者の関係式を求めるとつぎのごとくなる。

$$(Ca^{++}) = -0.0074(FeO)\% + 0.443 \dots\dots(11)$$

さてさきにえられた (8) 式すなわち

$$\log K_{Fe}^P = 6.72(Ca^{++}) + \frac{7,210}{t} - 3.41$$

をつぎのように書き直し、

$$\begin{aligned} \log \frac{(PO_4''')}{[P](Fe^{++})^{5/2}(O'')^{1/4}} \\ = 6.72(Ca^{++}) + \frac{7,210}{t} - 3.41 \\ \log \frac{(PO_4''')}{[P]} = 6.72(Ca^{++}) + \frac{7,210}{t} \\ - 3.1 + \frac{5}{2} \log(Fe^{++}) + \frac{1}{4} \log(O'') \dots\dots(12) \end{aligned}$$

(12) 式に (9), (10), (11) 式を代入すると燐の分配比 log(PO₄^{'''})/[P] と温度と (FeO)% との関係式として次式が求まる。

$$\begin{aligned} \log \frac{(PO_4''')}{[P]} = 6.72(-0.0074(FeO)\% + 0.443) \\ + \frac{7,210}{t} - 3.41 + \frac{5}{2} \log(0.0051(FeO)\% \cdot 0.0129) \\ + \frac{1}{4} \log(-0.00024(FeO)\%^2 \\ + 0.018(FeO)\% + 0.1136) \dots\dots\dots(13) \end{aligned}$$

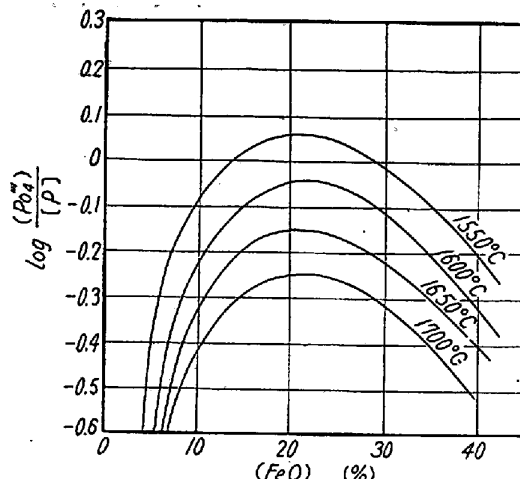


Fig. 12. Effect of (FeO)% on the P-distribution ratio log(PO₄^{'''})/[P].

(13) 式より 1,550°C, 1,600°C, 1,650°C および 1,700°C における log(PO₄^{'''})/[P] と (FeO)% との関係を求めると Fig. 12 に示す曲線群がえられる。Fig. 12 の曲線はいずれも (FeO) = 20% 付近に極大点を生じ、(FeO) が約 20% を越して増加すると燐の分配比はかえって低下してゆくことを表わしており、実際操作において後吹きに入つても脱燐反応があまり進行しない現象と一致している。以上のように上記 (13) 式の算出法がかなり強引であるにもかかわらず燐の分配比と (FeO)% との関係は Chipman および Schenck の平衡式を適用したときと同一の傾向がえられたことは興味あることと思われる。

V. 結 言

3 t 上吹試験転炉の主として最終鋼滓について Schenck の平衡式および Herasymerko の方法を適用して脱燐平衡の解析をおこないつぎの諸結果をえた。

(1) 実測値の log K_P^{IV} と 1/t の間の直線性は良好であるが、Schenck の平衡式の上方に位置しており平炉に比較して脱燐反応は平衡より離れていると思われる。

(2) Schenck の脱燐恒数を幾分簡略化して K_P^{IV}' = [ΣP](FeO)⁵(CaO)⁴/(ΣP₂O₅)として log K_P^{IV}' と 1/t との関係式

$$\log K_{P}^{IV'} = -\frac{61,140}{t} + 40.13$$

を実験式として燐の分配比 log(ΣP₂O₅)/[ΣP] と (FeO) または T.Fe% との関係を求めた。log(ΣP₂O₅)/[ΣP] と (FeO) または T.Fe% との関係曲線は

(FeO) 13~15%, T.Fe 25~30% 付近に極大点を生じた。

(3) Herasymenko の方法を用いて検討したところ $\log K_{Fe}^P$ と Ca^{++} とは直線的関係にありこれに温度の影響も加味してつぎの実験式をえた。

$$\log K_{Fe}^P = 6.72(Ca^{++}) + \frac{7,210}{T} - 3.41$$

上式の関係をも Herasymenko が平炉のデータよりえた関係と比較すると脱磷反応は平炉におけるよりも平衡からはなれていると思われ、Schenck の平衡をもとに検討したと同様の結果がえられた。

(4) 理論的根拠はないが 2, 3 の実験式を用いて (Fe⁺⁺), (Ca⁺⁺) および (O^{''}) の ionic fraction を (FeO)% に変換し磷の分配比 ($\log(PO_4^{''})/[P]$) と

(FeO)% との関係を検討したところ (FeO) 20% 付近に極大点を生ずる関係曲線がえられ Chipman および Schenck の平衡式を適用したときと同一の傾向がえられる。

本解析に対し種々御指導を賜わつた東北大学選鉱製錬研究所三本木教授に謝意を表す。

文 献

- 1) 鉄と鋼, 44 (1958) 733~739
- 2) H. Schenck & W. Rieß: Arch. Eisenhüttenw. 9 (1935~36) 589~600
- 3) P. Herasymenko & G. E. Speight: J.I.S.I. 166 (1950) 169
- 4) H. Flood & K. Grjotheim: J.I.S.I 171 (1952) 64

水冷転炉試験について(その1)*

(強制冷却による永久炉壁式炉の研究—II)

佐藤良蔵**・田畑農夫***

Operation of the Water-Cooling Converter (Part 1)

(Study on a permanent-wall-type furnace with compulsory cooling—II)

Ryozo Sato and Nofu Tabata

The authors studied the permanent-wall-type furnace with compulsory cooling. In this paper, the experimental results on the small converter with water cooling tuyere and jackets were reported.

The experiments were carried out with small side blown converter and its capacity was 50 kg. The results obtained were summarized as follows:

1. Low-carbon, high-quality steel can be produced from various kinds of pig iron with the aid of pure oxygen blowing in the water cooling small converter.

2. In this process, the general characteristics of heats were similar to the normal converter process, and several advantages were found; reduction of slag amount, longer life of the converter, etc.

3. Thickness of permanent refractory layer obtained was 5~10mm and this thin layer would be remained as neutral lining the blowing.

I. 緒 言

著者等は強制冷却法による耐火壁の永久炉壁化をこころみ、実験室のおよび半工業的規模の試験を行ない、その実用性を確認し、これを熔銑炉に適用して各種の熔解試験を行なつた。その結果については大要の一部を前報に詳細に述べたが、以後細目調査のため耐火物を塩基性

クロマグ系に変え、数年間そのままで継続使用しているが、まだ一度の補修の必要も認められず、操業もきわめて順調で、本法適用にあたって期待された諸種の利点が

* 昭和 32 年本会春季講演大会において発表

** 秋田大学鉱山学部冶金科

*** 〃 教授